

**تهیه نانوذرهای مغناطیسی آهن اکسید اصلاح شده با مایع یونی  
برای پیش‌تغییظ و اندازه‌گیری سرب  
در نمونه‌های آبی با طیف‌نورسنجی جذب اتمی شعله‌ای**

**سارا خدادادی<sup>۱</sup>، الهه کنو<sup>۲\*</sup>، علی عزابادی<sup>۳</sup> و علی نیازی<sup>۴</sup>**

۱. دانشجوی دکترای شیمی تجزیه، گروه شیمی، دانشگاه آزاد اسلامی واحد تهران مرکز، تهران، ایران.
۲. دانشیار شیمی تجزیه، گروه شیمی، دانشگاه آزاد اسلامی واحد تهران مرکز، تهران، ایران.
۳. استادیار شیمی آلی، گروه شیمی، دانشگاه آزاد اسلامی واحد تهران مرکز، تهران، ایران.
۴. استاد شیمی تجزیه، گروه شیمی، دانشگاه آزاد اسلامی واحد تهران مرکز، تهران، ایران.

دریافت: بهمن ۹۸ بازنگری: خرداد ۹۹ پذیرش: تیر ۹۹

#### چکیده

در این پژوهش از نانوذرهای مغناطیسی آهن اکسید اصلاح شده با مایع یونی  $[Fe_3O_4@SiO_2@[DABCO-PDO]Cl]$  برای پیش‌تغییظ و اندازه‌گیری مقادیر کم یون سرب در نمونه‌های آبی با دستگاه جذب اتمی شعله‌ای استفاده شده است. عامل‌های تجربی موثر بر استخراج و پیش‌تغییظ سرب بررسی و بهینه‌سازی شدند. تحت شرایط پهینه منحنی و استجھی در گستره غلظت ۰/۸ تا ۱/۶ میکروگرم بر لیتر خطی بود و ضریب تعیین ۰/۹۹۸۶ به دست آمد. عامل پیش‌تغییظ برای ۵۰ میلی‌لیتر محلول سرب معادل ۱۰۰ و حد تشخیص روش، ۰/۲۵ میکروگرم بر لیتر به دست آمد. درصد انحراف نسبی روش با ۴ تکرار بی‌دریپی در یک روز و بین چند روز به ترتیب ۱/۸ و ۲/۵ به دست آمد. تعیین مقدار سرب با موفقیت در نمونه‌های آبی (آب باران شهر تهران، آب آشامیدنی منطقه شهرک غرب تهران و آب معدنی) به کار برده شد. مقادیر بازده نسبی ۰/۶ تا ۰/۷۸ درصدگزارش شد. برای بررسی ساختار و ریخت نانوجادب تهیه شده، پراش پرتو ایکس (XRD)، طیف‌سنجی فروسرخ تبدیل فوریه (FTIR) و میکروسکوپ الکترونی پویشی (SEM) به کار گرفته شد.

**واژه‌های کلیدی:** سرب، نانوذرهای مغناطیسی آهن اکسید اصلاح شده با مایع یونی، جذب اتمی شعله‌ای، نمونه‌های آبی.

#### مقدمه

کادمیم، نیکل و جیوه حتی در مقادیر ناچیز نیز سمی و برای سلامتی انسان خطرناک هستند [۱ و ۲]. سرب یک توده سمی جدی است که از راه آب، غذا و هوا به بدن وارد بار به جا می‌گذارند. بعضی از این عنصرها مانند سرب،

ایستابرقی<sup>۱</sup>، آب گریز و  $\pi$  است، بستگی دارد. از این‌رو، این مواد به عنوان جاذب در استخراج فاز جامد به کارگرفته می‌شوند. در این پژوهش، نانوذره‌های مغناطیسی آهن اکسید [Fe<sub>3</sub>O<sub>4</sub>@SiO<sub>2</sub>@DABCO-PDO]Cl به عنوان جاذب برای اندازه‌گیری و پیش‌تقطیل یون‌های سرب استفاده شده است. از مزایای این جاذب می‌توان به پایداری شیمیایی و ظرفیت جذب بالای آن اشاره کرد. تاثیر عامل‌های متفاوت مانند pH، غلظت لیگاند، نوع و حجم حلال شوینده، زمان استخراج و واجدب، مقدار جاذب و نمک بررسی و مقدار بهینه هریک از عامل‌ها انتخاب شد. این روش برای اندازه‌گیری یون‌های سرب در نمونه‌های حقیقی به کارگرفته شد و با بررسی نتیجه‌ها کارآمدبودن روش اثبات شد.

### بخش تجربی

**مواد شیمیایی و دستگاه‌ها**

محلول استاندارد ۱۰۰۰ میلی‌گرم بر لیتر سرب (با حل کردن مقدار مناسب از نمک سرب نیترات در نیتریک اسید ۵٪) از شرکت Chem Lab بلژیک خریداری شد. حلال‌های متابول، اتانول، استونیتریل و تولوئن از شرکت مرک آلمان خریداری شدند. O<sub>2</sub> و FeCl<sub>2</sub>.4H<sub>2</sub>O با خلوص ۹۹٪ از شرکت مرک آلمان و تتراتیل اورتوسیلیکات و ۳کلروپروپیل تری‌متوكسی‌سیلان، از شرکت سیگما آلدريچ خریداری شدند. محلول‌های استاندارد روزانه با استفاده از آب یون‌زدوده تهیه شدند.

برای اندازه‌گیری جذب محلول‌ها از دستگاه طیف‌سنجدی PinAAcle 900T مدل PerkinElmer جذب اتمی شعله‌ای pH مجهز به لامپ کاتد توخالی سرب به کاربرده شد. محلول‌ها با pH متر شرکت Sartorius مدل ۷۸۰ اندازه‌گیری شد. تکاننده Heidolph مدل KS130 برای

می‌شود و بیشترین عوارض را برای سلامتی انسان و حیوان دارد [۳]. سرب سمیت بالایی دارد و فلزی سلطان‌زا بوده که می‌تواند موجب بیماری‌های مزمنی مانند سردرد، تحریک‌پذیری، درد شکم، صدمات عصبی، آسیب کلیه، فشارخون، سلطان‌ریه و معده و غیره شود [۴]. با توجه به اهمیت اندازه‌گیری سرب، به کارگیری یک روش تجزیه‌ای حساس، ساده، تکرارپذیر و دقیق برای اندازه‌گیری مقادیر کم سرب در نمونه‌های متفاوت مورد نیاز است. روش‌های متفاوتی برای اندازه‌گیری سرب در نمونه‌های متفاوت به کارگرفته شده‌اند که برای مثال، می‌توان به جذب اتمی کوره گرافیتی [۵]، طیف‌سنجدی جرمی پلاسمای جفت شده القایی [۶ و ۷]، طیف‌سنجدی نشر اتمی پلاسمای جفت شده القایی [۸]، جذب اتمی شعله‌ای اشاره کرد [۹]. از بین روش‌های یادشده، طیف‌سنجدی جذب اتمی شعله‌ای به دلیل هزینه پایین‌تر و سادگی عملکرد، بیشتر مورد توجه و استفاده قرار گرفته‌اند. روش استخراج فاز جامد است که یک روش متداول برای استخراج فلزهای سنگین از نمونه‌های حقیقی است، مزایایی همچون تقطیل بالا، کاهش مصرف حلال آلی، سادگی و آلوده‌بودن فاز پایانی را دارد. استخراج فاز جامد مغناطیسی که در آن ذردهای مغناطیسی به عنوان فاز جامد به کارگرفته شده و نیروی جذاکننده، میدان مغناطیسی است، نیازی به گریزانه و صاف کردن نمونه پس از فرایند استخراج ندارد. این روش ساده، کارآمد و در حال پیشرفت است [۱۰]. مایع‌های یونی حلال‌های دوستدار محیط‌زیست هستند و از ویژگی‌های باز آن‌ها ویژگی‌های فیزیکو شیمیایی بی‌همتا، پایداری گرمایی بالا و رسانایی بالا است [۱۱]. سطوح اصلاح‌شده با مایع یونی با تغییر کاتیون و آنیون‌ها در جداسازی به عنوان فاز ساکن با قطبیت کم برای ترکیب‌های غیرقطبی و در رفتار متضاد (با ساختار قطبی) برای ترکیب‌های که پروتون‌دهنده قوی هستند، استفاده می‌شود. این رفتار به سازوکار جداسازی که شامل برهم‌کنش‌های

1. Electrostatic

در دمای  $60^{\circ}\text{C}$  با همزن مکانیکی ۲۲ ساعت همزده شد. رسوب به دست آمده به یک بشر منتقل و با تولوئن خشک شسته و در آون خلاً با دمای  $50^{\circ}\text{C}$  در مدت ۱۲ ساعت خشک شد.

تهیه مایع یونی  $-1$ ،  $-2$ ،  $-3$  دی‌هیدروکسی پروپیل  $-1$ ،  $-4$  بی‌سیکلو [۲، ۲، ۲] / اوکتانیلیم کلرید

۱۰۰ میلی‌مول (۱۱/۱۲ گرم)  $1$ ،  $4$  دی‌آزو بی‌سیکلو [۲، ۲، ۲] اوکتان (DABCO) به یک بالن بازروانی منتقل کرده و سپس ۵۰ میلی‌لیتر حلال اتانول خالص به آن افروده شد. ۱۰۰ میلی‌مول  $\text{A}_3\text{V}_7$  (۱۰ میلی‌لیتر)-۳-کلرو-۱، ۲ پروپان دی‌ال به این محلول افزوده شد و ۲۴ ساعت در دمای  $120^{\circ}\text{C}$  تحت همزن بازروانی شد. پس از این مدت برای خالص‌سازی، مایع یونی تهیه شده [[DABCO-PDA]Cl] سه بار با ۱۰ میلی‌لیتر اتانول شسته شد. پس از آن، حلال، با به کارگیری تبخیر کن چرخان، در مدت ۲ ساعت تبخیر شد [۱۴].

نشاندن مایع یونی  $[\text{DABCO-PDO}]\text{Cl}$  بر روی سطح نانوذره‌ها مغناطیسی آهن

۲ گرم از نانوذره‌ای  $\text{Fe}_3\text{O}_4@\text{SiO}_2@\text{Cl}$  در  $30^{\circ}\text{C}$  میلی‌لیتر اتانول در یک بشر ریخته، سپس ۱ گرم از مایع یونی  $[\text{DABCO-PDO}]\text{Cl}$  در ۲۰ میلی‌لیتر اتانول در یک بشر دیگر حل و دو محلول به هم افزوده شدند و به مدت ۲۴ ساعت در حمام فراصوت قرارداده شدند. پس از اتانول شسته شد و در آون خلاً با دمای  $50^{\circ}\text{C}$  در مدت ۱۲ ساعت خشک شد.

آماده‌سازی نمونه‌های آب

بطری‌های پلی‌اتیلنی برای نمونه‌برداری آب باران و آب لوله‌کشی به کارگرفته شدند. پیش از نمونه‌برداری بطری‌ها به ترتیب با شوینده، آب، نیتریک اسید ۱۵٪ و آب یون‌زدوده به خوبی شسته شدند. نمونه‌های آب با نیتریک اسید ۲ مولار

همزن و ترازوی تجزیه‌ای مدل HR-200 شرکت AND برای توزین مواد استفاده شد. یک آهنربا با قدرت مغناطیسی  $14^{\text{tesla}}$  با ابعاد  $5 \times 5 \times 5$  سانتی‌متر برای جداسازی‌های مغناطیسی به کارگرفته شد. همچنین، طیف‌های FTIR و XRD ترکیب‌های تهیه شده به ترتیب با دستگاه‌های X'Pert MPD و JACSO-FTIR-410 گرفته شدند. آون خلاً BINDER VD23 و SONOREX دستگاه حمام فراصوت BANDELIN مدل SUPER نیز به کارگرفته شدند.

تهیه نانوذره‌های مغناطیسی  $\text{Fe}_3\text{O}_4$

۵ گرم از  $\text{FeCl}_3 \cdot 6\text{H}_2\text{O}$  با  $12/5$  گرم از  $\text{FeCl}_2 \cdot 4\text{H}_2\text{O}$  در ۶۵ میلی‌لیتر آب یون‌زدوده حل شدند و سپس ۲ میلی‌لیتر کلریدریک اسید غلیظ به محلول افزوده شد ( محلول ۱). ۶۰۰ میلی‌لیتر سدیم هیدروکسید ۱/۵ مولار در یک بالن ته گرد ریخته و تحت تکان شدید و در دمای  $70^{\circ}\text{C}$  در مدت یک ساعت قطره قطره به محلول ۱ افزوده شد. و نانوذره‌های مغناطیسی  $\text{Fe}_3\text{O}_4$  سیاه رنگ تولید شده، در یک بشر ریخته و سه بار با آب یون‌زدوده شسته و سپس، در آون خلاً با دمای  $60^{\circ}\text{C}$  در مدت ۲۴ ساعت خشک شدند [۱۲].

تهیه  $\text{Fe}_3\text{O}_4@\text{SiO}_2$

۲ گرم از  $\text{Fe}_3\text{O}_4$  با ۷۰ میلی‌لیتر آب یون‌زدوده در یک بالن ته گرد ریخته شدند و ۱۵ دقیقه در حمام فراصوت قرار گرفتند. سپس، به این مخلوط، ۵ میلی‌لیتر آمونیاک و ۵ میلی‌لیتر تتراتیل اورتوسیلیکات (TEOS) افزوده و مخلوط با همزن مکانیکی، ۲۴ ساعت همزده شد. در پایان مخلوط به یک بشر ریخته و با آب یون‌زدوده شسته و در آون خلاً با دمای  $60^{\circ}\text{C}$  در مدت ۱۲ ساعت خشک شد [۱۳].

تهیه  $\text{Fe}_3\text{O}_4@\text{SiO}_2@\text{Cl}$

در یک بالن ته گرد حاوی ۳۰۰ میلی‌لیتر تولوئن خشک، ۳ میلی‌لیتر از ۳-کلروپروپیل تری‌متوكسی‌سیلان ریخته و ۳ گرم از  $\text{Fe}_3\text{O}_4$  به محلول افزوده شد. سپس، مخلوط

دوباره ۱۳ دقیقه همزده شد. فاز روشن (آلی) حاوی یون‌های سرب بود که جذب آن با دستگاه جذب اتمی شعله‌ای خوانده شد. ویژگی‌های لامپ سرب در دستگاه جذب اتمی شعله‌ای در جدول ۱ آمده است.

جدول ۱ ویژگی‌های لامپ سرب در دستگاه جذب اتمی شعله‌ای

عنصر	نوع لامپ	کاتد توحالی	شکاف (نانومتر)	طول موج (نانومتر)	جریان لامپ (میلی‌آمپر)
سرب	لامپ	کاتد توحالی	۰/۷	۲۸۳/۳۱	۱۰

### نتیجه‌ها و بحث

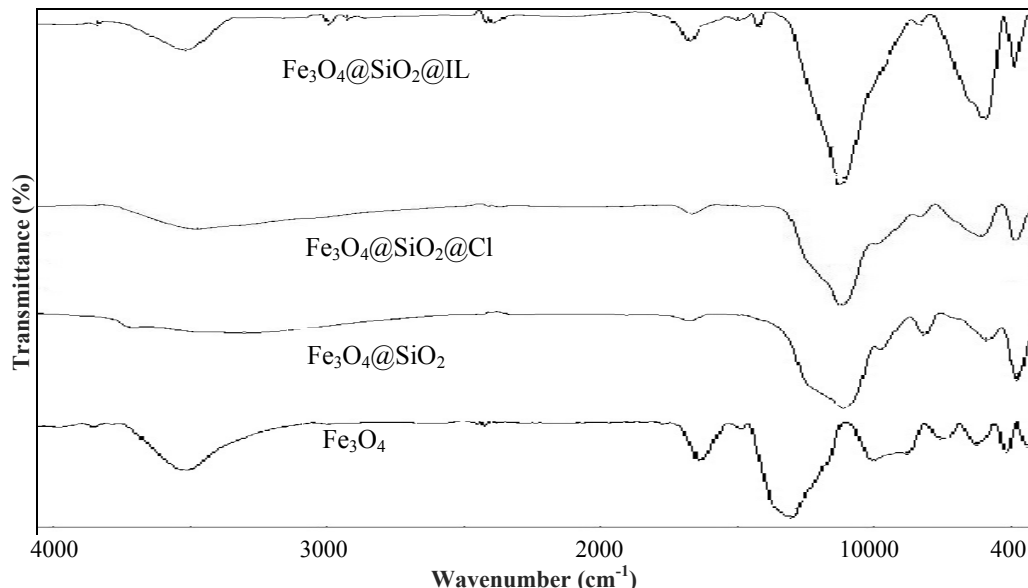
بررسی ساختار نانوذره‌های مغناطیسی اصلاح شده طیف FTIR نانوذره‌های مغناطیسی اصلاح شده با مایع یونی در شکل ۱ نشان داده شده است.

اسیدی شدند تا از رسوب احتمالی کاتبیون‌ها و افزایش pH و رشد ریزاندامگان‌ها جلوگیری شود. در پایان همه نمونه‌ها از یک صافی با منفذ ۴۵٪ میکرومتر عبور داده شدند.

استخراج سرب (II) با نانوذره‌های مغناطیسی اصلاح شده

با مایع یونی  $[Fe_3O_4@SiO_2@DABCO-PDO]Cl]$

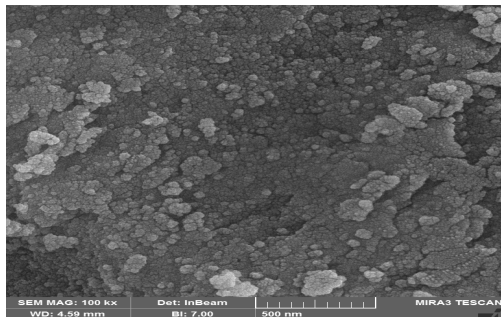
نمونه حاوی سرب به حجم ۲۵ میلی‌لیتر با غلظت ۱ میکروگرم بر لیتر، به لیگاند-۸-هیدروکسی‌کینولین (8-HQ) با غلظت ۰/۰۰۱ مول بر لیتر در یک ارلن افزوده شد. سپس ۵۰ میلی‌گرم از جاذب ( $Fe_3O_4@SiO_2@DABCO-$ ) به محلول سرب که در pH برابر با ۵ تنظیم شده بود، افزوده شد. مخلوط به مدت ۱۳ دقیقه روی تکاننده و با سرعت ثابت ۳۶۰ دور بر دقیقه در دمای محیط همزده شد. پس از جدا کردن فاز آبی از فاز ساکن با آهنربا، به فاز ساکن ۲ میلی‌لیتر متانول-نیتریک اسید ۰/۵ مولار افزوده و



شکل ۱ طیف‌های FTIR نانوذره‌های مغناطیسی اصلاح شده با مایع یونی

در نواحی ۹۸۰، ۵۷۱ و ۲۹۰۰  $cm^{-1}$  به ترتیب مربوط به ارتعاش پیوند Fe-O در نانوذره آهن اکسید، Si-OH و

با توجه به طیف مشاهده شده، نوار حدود ۳۴۵۵۰  $cm^{-1}$  مربوط به ارتعاش‌های کششی OH- و نوارهای مشاهده شده



شکل ۳ تصویر SEM نانوذره های مغناطیسی اصلاح شده با مایع یونی

#### بررسی اثر pH

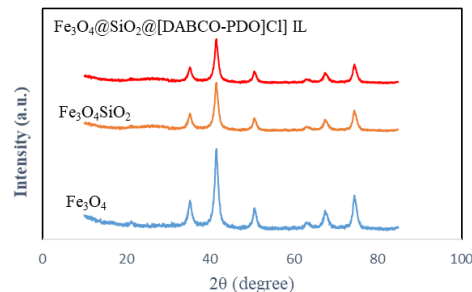
تاثیر مقدار pH در بازیابی یون های سرب با تنظیم pH در بازه ۲ تا ۱۲ بررسی شد. در استخراج سرب، مقدار pH بر بارهای سطح جاذب تاثیر می گذارد و نقش مهمی در تشکیل کمپلکس فلز-کیلیت در نمونه های آبی زیست محیطی و زیستی دارد. بنابراین، بهینه سازی دقیق این عامل برای دستیابی به بازیابی بالای فلزها سنگین بسیار مهم است [۱۶]. نتیجه های گزارش شده در شکل ۴، نشان می دهد که استخراج سرب با افزایش pH در گستره ۱ تا ۵، افزایش می باید ولی با افزایش بیشتر pH، استخراج کاهش می باید، به دلیل اینکه در pH پایین، کاتیون ها تمایل کمتری به تشکیل رسو ب دارند. بنابراین، pH برابر با ۵ به عنوان pH بهینه انتخاب شد.

#### بررسی اثر غلظت لیگاند

با توجه به این که کارایی استخراج سرب وابسته به غلظت لیگاند است [۱۷ و ۱۸]، اثر غلظت لیگاند -۸- هیدروکسی کینولین مطالعه شد. غلظت لیگاند تا زمانی که همه سرب استخراج نشده است، افزایش می باید. کمپلکس یون فلزی سرب با لیگاند به طور قابل توجهی در آب محلول هستند و می توانند از حلal های آلی استخراج شوند. در غلظت های بالاتر از ۰/۰۰۱ مول بر لیتر هیچ تغییری در بازده استخراج مشاهده نشد که نشان دهنده کامل شدن کمپلکس

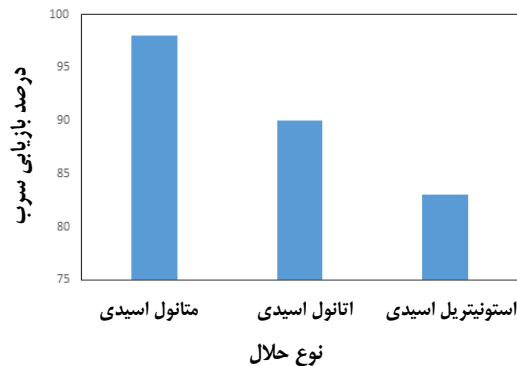
کربن های آلیفاتیک است. ارتعاش های Si-O-Si نیز در حدود  $800\text{ cm}^{-1}$  و  $1091\text{ cm}^{-1}$  قابل مشاهده است.

شکل ۲ الگوی XRD ساختار بلوری جاذب تهیه شده را نشان می دهد. در الگوی XRD نانوذره های  $\text{Fe}_3\text{O}_4$  پوشش داده شده با یک لایه سیلیکا نازک، پیک های اصلی  $\text{Fe}_3\text{O}_4$  خالص همچوپانی دارند که اصلاح شده با نانوذره های  $\text{Fe}_3\text{O}_4$  به وجود نیاورده است. همان طور که در این شکل  $[\text{Fe}_3\text{O}_4@ \text{SiO}_2@[\text{DABCO-PDO}] \text{Cl}]$  مشخص است، پیک های الگوی نمونه  $[\text{Fe}_3\text{O}_4@ \text{SiO}_2@[\text{DABCO-PDO}] \text{Cl}]$  نسبت به پیک های الگوی  $\text{Fe}_3\text{O}_4$  پهن تر شده است که نشان می دهد تبلور در نانوذره های  $\text{Fe}_3\text{O}_4$  اصلاح شده با مایع یونی کاهش یافته است [۱۵]



شکل ۲ الگوهای XRD نانوذره های مغناطیسی اصلاح شده با مایع یونی

ریخت و اندازه نانوذره های مغناطیسی اصلاح شده با مایع یونی با میکروسکوپ الکترونی پویشی مورد بررسی قرار گرفت. تصویر SEM نمونه تهیه شده در شکل ۳ ارایه شده است. همان گونه که مشاهده می شود، نانوذره ها کروی و میانگین اندازه ذره ها در مقیاس نانومتر است و از گستره توزیع به نسبت مناسبی برخوردارند که بیانگر کارآمد بودن روش تهیه نانوذره های مغناطیسی اصلاح شده با مایع یونی است.

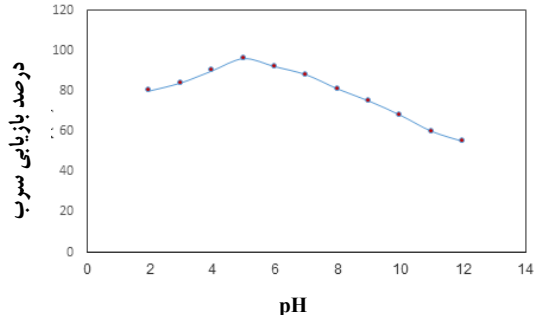


شکل ۵ بررسی اثر نوع حلال شوینده بر درصد بازیابی یون سرب (شرایط آزمون: غلظت محلول سرب ۱ میکروگرم بر لیتر، غلظت لیگاند  $100\text{ mol/L}$  مول بر لیتر، pH برابر با ۵، مقدار جاذب ۵۰ میلی‌گرم، زمان استخراج واجذب ۱۳ دقیقه)

تأثیر حجم حلال بر استخراج سرب در گستره ۲ تا ۵ میلی‌لیتر بررسی شد. یون‌های سرب تا حجم ۲ میلی‌لیتر افزایش یافته‌ند و پس از آن ثابت باقی ماند. بنابراین، مقدار ۲ میلی‌لیتر بهدلیل بازده استخراج بالا به عنوان مقدار بهینه حلال انتخاب شد.

بررسی اثر زمان استخراج واجذب  
زمان تماس محلول با جاذب از جمله مشخصه‌های تأثیرگذار بر فرایند استخراج است. به همین دلیل تأثیر زمان استخراج واجذب فلز سرب در زمان‌های ۲، ۵، ۸، ۱۰، ۱۳، ۱۵، ۲۰، ۳۰ دقیقه بررسی شد. برپایه نتیجه‌ها به دست آمده (شکل ۶)، بازده استخراج تا ۱۳ دقیقه افزایش یافت ولی پس از آن ثابت باقی ماند.

فلز-کیلیت است. بنابراین، مقدار  $100\text{ mol/L}$  مول بر لیتر از لیگاند-هیدروکسی‌کینولین برای استخراج سرب انتخاب شد.

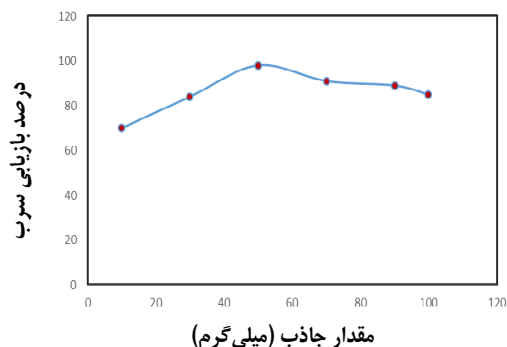


شکل ۶ اثر pH بر درصد بازیابی یون سرب (شرایط آزمون: غلظت محلول سرب ۱ میکروگرم بر لیتر، غلظت لیگاند  $100\text{ mol/L}$  مول بر لیتر، مقدار جاذب ۵۰ میلی‌گرم، شویش با ۲ میلی‌لیتر متانول-نیتریک اسید  $5\text{ mol/L}$  مول بر لیتر، زمان استخراج واجذب ۱۳ دقیقه)

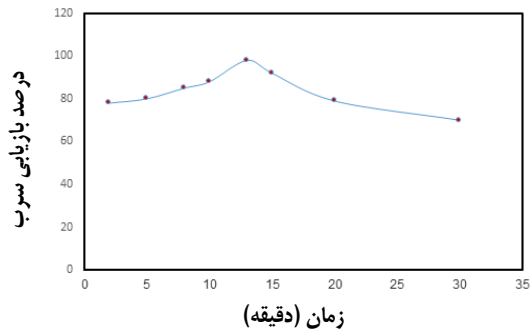
بررسی اثر نوع و حجم حلال شوینده  
قدرت شویش کامل آنالیت جذب شده با یک شوینده مناسب بسیار حائز اهمیت است [۱۹]. بنابراین، انتخاب یک حلال با عملکرد مناسب برای پیش‌تغییض و استخراج فلزهای سنگین از اهمیت بالایی برخوردار است. برای این منظور در این پژوهش حلال‌های متفاوتی از جمله اتانول-نیتریک اسید  $5\text{ mol/L}$  مول بر لیتر، متانول-نیتریک اسید  $5\text{ mol/L}$  مول بر لیتر و استونیتریل-نیتریک اسید  $5\text{ mol/L}$  مول بر لیتر بررسی شد. همان‌طور که در شکل ۵ نشان داده شده است، از بین این سه حلال، توانایی واجذب حلال متانول-نیتریک اسید  $5\text{ mol/L}$  مول بر لیتر بیشتر از بقیه حلال‌ها بود. بنابراین، به عنوان حلال شویش انتخاب شد.

استخراج را داشت و در مقادیر کمتر از ۵۰ میلی‌گرم، بازده استخراج به علت ناکافی بودن مقدار جاذب برای استخراج کامل کمپلکس سرب، پایین است.

شرایط بهینه به دست آمده در روش استخراج فاز جامد سرب با استفاده از نانوذره های مغناطیسی اصلاح شده با مایع یونی دابکو در جدول ۲ نشان داده شده است.



شکل ۷ بررسی اثر مقدار جاذب بر درصد بازیابی یون سرب (شرایط آزمون: غلظت محلول سرب ۱ میکروگرم بر لیتر، غلظت لیگاند ۰،۰۰۱ مول بر لیتر، pH ۵ برابر با ۵، زمان استخراج و اخذ ۱۳ دقیقه)



شکل ۶ بررسی اثر زمان استخراج بر درصد بازیابی یون سرب (شرایط آزمون: غلظت محلول سرب ۱ میکروگرم بر لیتر، غلظت لیگاند ۰،۰۰۱ مول بر لیتر، pH برابر با ۵، مقدار جاذب ۵۰ میلی‌گرم، شویش با ۲ میلی‌لیتر متانول-نیتریک اسید ۰،۵ مول بر لیتر)

#### بررسی اثر مقدار جاذب

مقدار جاذب بر مقدار پیش تعليظ کاتیون فلزی تاثیرگذار است. در غلظت ثابتی از یون‌های فلزی، هرچه مقدار جاذب بیشتر باشد سطح بزرگتر و مکان‌های جذب بیشتری در اختیار کاتیون‌های جذب‌شونده قرار می‌گیرند [۲۰]. برای مطالعه تاثیر مقدار جاذب بر استخراج فلز سرب، مقدارهای ۱۰ تا ۱۰۰ میلی‌گرم در نظر گرفته شد. برپایه نتیجه‌های به دست آمده (شکل ۷)، ۵۰ میلی‌گرم از جاذب مایع یونی بیشینه

جدول ۲ شرایط بهینه به دست آمده برای روش استخراج فلز سرب

مقدار بهینه	pH	غلظت لیگاند (مول بر لیتر)	مقدار جاذب (میلی‌گرم)	نوع حلال	حجم حلال (میلی‌لیتر)	زمان استخراج و اخذ (دقیقه)	بررسی اثر مقدار جاذب و اخذ
۰،۵	۵	۰،۰۰۱	۵۰	متانول-نیتریک اسید	۲	۱۳	بررسی اثر نمک

تأثیری بر جذب ندارد. این نتیجه‌ها نشان می‌دهد که این روش بسیار مقاوم در برابر غلظت بالای نمک است. بررسی مراحت‌های یونی تأثیر برخی یون‌های مزاحم که در محیط واقعی وجود دارند نیز بر جذب کمپلکس سرب، بررسی شد. یونی مزاحم شناخته می‌شود که موجب تغییر نشانک جذب در گستره ۵

با ثابت نگهداشتن عامل‌های دیگر، تاثیر قدرت یونی بر عملکرد استخراج فاز جامد با افزودن مقادیر متفاوت نمک سدیم کلرید در گستره صفر تا ۳۰ درصد جرمی حجمی بررسی شد. نتیجه‌ها نشان داد که مقدار استخراج در گستره غلظتی مورد بررسی به تقریب ثابت است و افزودن نمک هیچ

شرایط بهینه مورد ارزیابی قرار گرفت که نتیجه‌های مربوط در جدول ۴ گزارش شده است. همان‌طور که در نتیجه‌ها دیده می‌شود، روش پیشنهادی حساسیت و پایداری خوبی دارد و توانایی تجزیه سرب در سطوح غلاظتی بسیار کم را دارد.

جدول ۴ ارقام شایستگی به‌دست آمده برای استخراج فلز سرب با نانوذره‌های مغناطیسی اصلاح‌شده با مایع یونی

مقدار	عامل
۰.۹۹۸۶	ضریب تعیین
۰.۲۵	حد تشخیص (میکروگرم بر لیتر)
۱۰۰	عامل پیش‌تقطیع
۰.۸-۱.۶	گستره خطی (میکروگرم بر لیتر)
۱.۸	درصد انحراف نسبی روز (n=4)
۲.۵	درصد انحراف نسبی بین روزها (n=4)

اندازه‌گیری سرب در نمونه‌های واقعی برای تعیین کاربرد روش توسعه‌یافته در پژوهش حاضر، روش اندازه‌گیری فلز سرب با نانوذره‌های مغناطیسی اصلاح‌شده با مایع یونی در نمونه‌های آبی متفاوت (آب باران، آب آشامیدنی منطقه شهرک غرب تهران، آب معدنی) به کار گرفته شد. به منظور بهبود صحت روش، آزمون‌های بازده نسبی با افزایش مقادیر متفاوت سرب صورت گرفت. جدول ۵ نتیجه‌های به دست آمده را نشان می‌دهد. همان‌طور که دیده می‌شود، درصد بازده استخراج بین ۹۰ تا ۹۷ به‌دست آمد که صحت روش حاضر را تایید می‌کند.

±٪ شود [۲۱]. لیگاند ۸-هیدروکسی‌کینولین با تعدادی از فلزهای واسطه و نیم فلزها در محیط اسیدی واکنش می‌دهد، ولی با فلزهای قلیایی و قلیایی‌خاکی و سایر عناصر واکنش نمی‌دهد [۳]. در همه آزمایش‌ها، محلولی از سرب با غلاظت ۱ میلی‌گرم بر لیتر به کار گرفته شد. نتیجه این بررسی در جدول ۳ گزارش شده است. همان‌طور که مشاهده می‌شود یون‌های مزاحم بررسی‌شده در این پژوهش مزاحمت جدی در پیش‌تقطیع و اندازه‌گیری سرب ایجاد نمی‌کنند.

جدول ۳ اثر یون‌های مزاحم بر استخراج Pb(II)

یون مزاحم	حاوی یون مزاحم	حد اطمینان (mg l⁻¹)	تركیب افزوده شده
Cl⁻	NH₄Cl	۱۰۰۰	
F⁻	NaF	۴۰۰	
PO₄³⁻	Na₃PO₄	۶۰۰	
SO₄²⁻	Na₂SO₄	۵۰۰	
Na⁺	NaCl	۷۰۰	
Ca²⁺	CaCl₂	۲۰۰	
Fe³⁺	Fe(NO₃)₃·9H₂O	۱۰	
Zn²⁺	Zn(NO₃)₂	۱۰	
Cu²⁺	Cu(NO₃)₂·3H₂O	۱۰	
Ni²⁺	Ni (NO₃)₂·6H₂O	۱۰	
Co²⁺	Co(NO₃)₂	۱۰	

ارقام شایستگی برای بررسی کارایی روش، عامل‌های تجزیه‌ای مانند ضریب تعیین، حد تشخیص، دقت و گستره خطی تحت

جدول ۵ اندازه‌گیری سرب در نمونه‌های واقعی

درصد بازیابی*	مقدار سرب یافتشده <sup>*</sup> ( $\mu\text{g l}^{-1}$ )	مقدار سرب افزوده شده ( $\mu\text{g l}^{-1}$ )	نمونه
---	$10 \pm 1/3$	•	آب باران شهر تهران
۹۲,۵	$28,5 \pm 1,1$	۲۰	
۹۰,۶	$46,25 \pm 1,8$	۴۰	
---	$2,2 \pm 2,5$	•	آب آشامیدنی منطقه شهرک غرب تهران
۹۱	$20,4 \pm 2,3$	۲۰	
۹۳,۸	$39,74 \pm 1,9$	۴۰	
---	---	•	آب معدنی
۹۶,۷	$19,34 \pm 1,7$	۲۰	
۹۷,۸	$39,12 \pm 1,2$	۴۰	

\* میانگین سه بار اندازه‌گیری  $\pm$  انحراف استاندارد

انحراف نسبی روش حاضر با روش‌های دیگری که برای پیش‌تغییظ و اندازه‌گیری فلز سرب به کاررفته است، در جدول ۶ گزارش شده است. این روش در مقایسه با روش‌های دیگر درصد انحراف نسبی و حد تشخیص پایین‌تری دارد.

مقایسه روش پیشنهادی با سایر روش‌های پیشنهادی گزارش شده با روش‌های متفاوتی که برای اندازه‌گیری و پیش‌تغییظ فلز سرب به کارگرفته شده است، مقایسه شد. حد تشخیص، عامل پیش‌تغییظ و درصد

جدول ۶ مقایسه روش پیشنهادی استخراج سرب با سایر روش‌ها

مرجع	درصد انحراف نسبی	عامل پیش‌تغییظ	حد تشخیص (میکروگرم بر لیتر)	دستگاه اندازه‌گیری	روش
۲۲	۲,۸	۱۰۰	۰,۳	جذب اتمی شعله‌ای	استخراج فاز جامد
۲۳	۱,۳۴	۲۰۰	۱,۶۶	جذب اتمی شعله‌ای	استخراج فاز جامد
۲۴	۲,۴	۲۰	۵,۰	جذب اتمی شعله‌ای	استخراج فاز جامد
این پژوهش	۱,۸	۱۰۰	۰,۲۵	جذب اتمی شعله‌ای	استخراج فاز جامد

به عنوان جاذب به کارگرفته شد. برپایه نتیجه‌های به دست آمده در این روش به دلیل عدم نیاز به ستون، زمان کمتری صرف جداسازی و پیش‌تغییظ می‌شود و جداسازی مغناطیسی مقدار جداسازی را تا حد زیادی بهبود داده است. این روش می‌تواند جایگزین روش‌های گران‌قیمت دیگری که برای

نتیجه‌گیری واردشدن فلزهای سنگین به آب‌های محیطی می‌تواند اثرات زیان باری بر سلامت موجودات زنده داشته باشد، از این‌رو، در پژوهش حاضر به منظور اندازه‌گیری فلز سرب، روش استخراج فاز جامد بر پایه نانوذره‌های مغناطیسی

آمده از این مطالعه نشان داد که نانوذره‌های مغناطیسی اصلاح شده با مایع یونی قابلیت بسیار بالایی برای استخراج فلزهای سنگین سرب از محلول‌های آبی دارند.

استخراج فلز سرب به کار می‌رود، شود. با توجه به این که مایع‌های یونی قابل طراحی هستند، کارایی استخراج و گزینش‌پذیری نیز قابل تنظیم است. این روش توسعه یافته، سریع، ساده و ارزان برای جذب سریع فلزهای سنگین در حجم‌های زیاد نمونه‌ها است و به طور کلی نتیجه‌های بدست

## مراجع

- [1] Samadi, S.; Kharkhaneh, A.; Moghadam, M.; Zakaria, A.; Journal of Applied Researches in Chemistry (JARC) 2, 61-73, 1398.
- [2] Lin, H.T.; Wong, S.S.; Li, G.Ch.; Journal of Food and Drug Analysis 12, 74-167, 2004.
- [3] Mehrabad, T.; Sheikhlouie, H.; Arjmandi Rad, F.; Nashrieh Shimi va Mohandes Shimi Iran (NSMSI) 4, 61-68, 1393.
- [4] Muhammad, S.; Shah, M.T.; Khan, S.; Microchemical Journal 98, 334-341, 2011.
- [5] Bakirdere, S.; Yaroğlu, T.; Tirik, N.; Demiröz, M.; Fidan, A.K.; Maruldali, O.; Karaca, A.; Journal of Spectroscopy 1, 1-7, 2013.
- [6] AL- Rajhi, M.A.; American Journal of Environmental Sciences 10, 283-288, 2014.
- [7] Feist, B.; Mikula, B.; Pytlakowska, K.; Puzio, B.; Buhl, F.; Journal of Hazardous Materials 152, 1122-1129, 2008.
- [8] Trzcinka-Ochocka, M.; Brodzka, R.; Janasik, B.; Journal of Clinical Laboratory Ananlysis 30, 130-139, 2016.
- [9] Arpa, Ç.; Aridaşır, I.; Journal of Analytical Mrthods in Chemistry 1, 1-7, 2018.
- [10] Iwasaki, T.; Morikane, R.; Edura, T.; Tokuda, M.; Tsutsui, K.; Wada, Y.; Kawarada, H.; Carbon 45, 2351-2355, 2007.
- [11] Ayata, S.; Bozkurt,S.; Ocakoglu, K.; Talanta 84, 212-215, 2011.
- [12] Hong-Yan Lü, A.; Shu-Hong Yang, A.; Jia Deng, A.; and Zhan-Hui Zhang,A.; Australian Journal of Chemistry 63, 1290-1296, 2010.
- [13] Wang, S.; Zhang, Z.; Liu, B.; Li, J.; Catalysis Science & Technology 3, 2104, 2013.
- [14] Ying, A.;Ni, Y.; Xu, S.; Liu, S.; Yang, J.; Li, R.; Industrial & Engineering Chemistry Research 53, 5678-5682, 2014.
- [15] Sahebi, H.; Konoz, E.; Ezabadi, A.; New Journal of Chemistry 43, 13554-13570, 2019.
- [16] Abdolmohammad-Zadeh, H.; Hassanlouei, S.; Zamani, M.; RSC Adv. 7, 23293-23300, 2017.
- [17] Rezaee, M.; Yamini, Y.; Khanchi, A.; Faraji, M.; Saleh, A.; Journal of Hazardous Materials 178, 766-770, 2010.
- [18] Durukan, I.; Arpa Şahin, C.; Bektaş, S.; Microchemical Journal 98, 215-219, 2011.
- [19] Zhou, Q.; Ding, Y.; Xiao, J.; Analytical and Bioanalytical Chemistry 385, 1520-1525, 2006.
- [20] Mahmoud, M.; Talanta 45, 309-315, 1997.
- [21] khourasani, R.; Dindarloo, K.; Rahmanian, O.; Goudarzi, B.; Journal of Applied Researches in Chemistry (JARC) 44, 171-185, 1396.
- [22] Gouda, A.A.; Zordok, W.A.; Turkish Journal of Chemistry 42, 1018 – 1031, 2018.
- [23] Fasih Ramandi, N.; Shemirani, F.; Talanta 131, 404-411, 2015.
- [24] Şahin, U.; Tokalioglu, S.; Kartal, S.; Ulgen, A.; Chemia Analityczna 50, 529-237, 2005.

## Preconcentration and determination of Pb(II) using magnetic nanoparticles coated with DABCO-PDO ionic liquid with FAAS in aqueous samples

Sara Khodadadi<sup>1</sup>, Elaheh Konoz<sup>\*1</sup>, Ali Ezabadi<sup>3</sup>and Ali Niazi<sup>4</sup>

1. PhD Student of Analytical Chemistry, Department of Chemistry, Islamic Azad University Central Tehran Branch, Tehran, Iran.
2. Associate Prof. of Analytical Chemistry, Department of Chemistry, Islamic Azad University Central Tehran Branch, Tehran, Iran.
3. Assistant Prof. of Organic Chemistry, Department of Chemistry, Islamic Azad University Central Tehran Branch, Tehran, Iran.
4. Professor of Analytical Chemistry, Department of Chemistry, Islamic Azad University Central Tehran Branch, Tehran, Iran.

**Abstract:** In this study, magnetic nanoparticles modified with DABCO-PDO ionic liquid were used to preconcentration and determination of trace amount of Pb(II) in aqueous samples using a flame atomic absorption instrument. Experimental factors affecting Pb(II) extraction and preconcentration were investigated and optimized. The calibration curve for Pb(II) was linear under the optimum condition in the concentration range of 0.8-1.6  $\mu\text{g l}^{-1}$  with the determination coefficient of 0.9986. The concentration factor of Pb(II) was 100 with the detection limit of 0.25  $\mu\text{g l}^{-1}$ . The relative standard deviations (RSD %) for the concentration of the method were 1.8 and 2.5, respectively, with 4 successive replications in one day and between days. Lead determination was successfully applied for aqueous samples (rainwater in Tehran, tap water in Shahrak Gharb, Tehran, and mineral water). Recoveries in the ranges 90.6-97.8 were reported. Structure and morphology of the synthesized nanosorbent were investigated by using Fourier transform infrared spectroscopy (FTIR) analysis, scanning electron microscopy (SEM), and X-ray powder diffraction (XRD).

**Keywords:** Lead, Magnetic nanoparticles coated with DABCO-PDO, FAAS, Aqueous samples